

**ผลกระทบของปัจจัยในการทดสอบที่มีต่อการทดสอบความดันเพื่อการรมยา**  
**Effects of testing parameters on the pressurization test for fumigation purposes**

วัชรพล ชัยประเสริฐ<sup>1</sup> เอกน ศุขเจริญ<sup>2</sup> และ ธีรเดช เดชาทองจันทร์<sup>1</sup>  
 Watcharapol Chayaprasert<sup>1</sup>, Anak Sukcharoen<sup>2</sup> and Teeradach Dachtongjun<sup>1</sup>

**Abstract**

Fumigation needs to be conducted in air-tight structures in order to prevent excessive gas loss. The pressurization test is typically used to quantify the air-tightness of a structure. Air-tightness is indicated by the pressure half-life (i.e., the time by which the pressure inside a structure decreases by half – PHL). The objective of this study was to evaluate the effects of testing parameters on the pressurization test. An analysis of the mathematical equations that describe pressure decay in closed volumes suggested that the PHL increases when a higher initial pressure is selected or the temperature inside the structure increases. However, the PHL is inversely proportional to the structure's volume. Three experiments were conducted in order to verify these findings. Pressurization tests were conducted in a 8.9 m<sup>3</sup> hopper bottom silo at two levels of air-tightness. The first experiment verified the relationship between the PHL and the initial pressure. In the second experiment, the silo was pressure tested under sunny and cloudy conditions, demonstrating the effect of temperature. In the third experiment, the PHL of a single 60 l plastic container and those of multiple containers jointed by tubings were compared. The results of all three experiments agreed with the theoretical analysis which indicated that the three testing parameters should be taken into account when the pressurization test is conducted.

**Keywords:** Pressurization test, air-tightness, fumigation

**บทคัดย่อ**

การรมยาที่มีประสิทธิภาพจำเป็นต้องทำในโครงสร้างการรมที่มีความมิดชิด (air-tightness) อยู่ในระดับที่ไม่ต่ำจนเกินไปเพื่อช่วยลดการรั่วไหลของสารเคมีให้ได้มากที่สุด การทดสอบความดัน (pressurization test) เป็นวิธีที่ใช้ในการทดสอบความมิดชิดของโครงสร้างการรม ค่าที่ใช้วัดระดับความมิดชิดคือระยะเวลาที่ระดับความดันลดลงจากค่าเริ่มต้นค่าหนึ่งถึงครึ่งหนึ่งของค่าเริ่มต้นนั้น ซึ่งเรียกว่า pressure half-life (PHL) งานวิจัยนี้มีวัตถุประสงค์เพื่อศึกษาผลกระทบของปัจจัยในการทดสอบต่างๆ ที่มีต่อ PHL คณานุวิจัยได้ทำการวิเคราะห์สมการคณิตศาสตร์ที่อธิบายถึงความเปลี่ยนแปลงความดันภายในปริมาตรปิดและพบว่า ที่ระดับความมิดชิดเดียวกันการเลือกค่าความดันเริ่มต้นที่สูงขึ้นแล้วการทดสอบความดันที่อุณหภูมิภายในโครงสร้างสูงขึ้นจะทำให้ได้ค่า PHL ที่มากขึ้น แต่ค่า PHL จะแปรผันกับปริมาตรของโครงสร้าง หลังจากนั้นคณานุวิจัยได้ทำการทดลอง 3 คราวทดลองเพื่อพิสูจน์ผลการวิเคราะห์สมการทางทฤษฎี ในการทดลองที่ 1 คณานุวิจัยทำการทดสอบความดันในไชโอลิกันกรวย (hopper bottom silo) ขนาด 8.9 m<sup>3</sup> ที่ระดับความมิดชิด 2 ระดับเพื่อพิสูจน์ความสัมพันธ์ระหว่างค่าความดันเริ่มต้นกับ PHL ในการทดลองที่ 2 ทำการทดสอบความดันในไชโอลิเดินแต่ทำการทดสอบในขณะที่ไชโอลูกและไม่ถูกแสดงแผลส่องกระหบเพื่อแสดงให้เห็นถึงผลของอุณหภูมิ ในการทดลองที่ 3 ทำการทดสอบความดันในถังพลาสติกขนาด 60 l โดยเบรี่ยบเทียบผลการทดสอบระหว่างถังพลาสติกเปล่า 1 ใบกับถังเปล่า 2 หรือ 3 ใบที่มีปริมาตรเชื่อมต่อกัน ผลการทดลองทั้งหมดเป็นไปตามผลการวิเคราะห์ทางทฤษฎี ซึ่งแสดงให้เห็นว่าในการทดสอบความดันผู้ทดสอบจำเป็นต้องควบคุมปัจจัยในการทดสอบทั้ง 3 ปัจจัยนี้ด้วย

**คำสำคัญ:** การทดสอบความดัน ความมิดชิด กรรมยา

<sup>1</sup> ภาควิชาวิศวกรรมเกษตร คณะวิศวกรรมศาสตร์ กำแพงแสน มหาวิทยาลัยเกษตรศาสตร์ วิทยาเขตกำแพงแสน นครปฐม 73140

<sup>1</sup> Department of Agricultural Engineering, Faculty of Engineering at Kamphaengsaen, Kasetart University – Kamphaengsaen Campus, Nakhon Pathom, 73140

<sup>2</sup> ฝ่ายเครื่องจักรกลการเกษตรและชาวดิ สถาบันวิจัยและพัฒนา กำแพงแสน มหาวิทยาลัยเกษตรศาสตร์ วิทยาเขตกำแพงแสน นครปฐม 73140

<sup>2</sup> National Agricultural Machinery Section, Research and Development Institute at Kamphaengsaen, Kasetart University – Kamphaengsaen Campus, Nakhon Pathom, 73140

## คำนำ

สารรวมที่นิยมใช้กับการรวมยาเพื่อการเก็บรักษาอัญมณี เช่น ข้าวและข้าวโพด คือ ฟอสฟีน (phosphine) งานวิจัยหลายชิ้นได้ยืนยันถึงความต้านทานต่อฟอสฟีนที่เพิ่มมากขึ้นของแมลงศัตรูพืช (Rajendran and Gunasekaran, 2002; Pimentel et al., 2008) ความต้านทานที่เพิ่มมากขึ้นนี้เกิดจากกระบวนการที่ไม่มีประสิทธิภาพซึ่งเป็นผลมาจากการรั่วไหลของสารรวมออกจากโครงสร้างการรวมที่รวดเร็วนอกไป ดังนั้นการรวมยาจำเป็นต้องทำในโครงสร้างการรวมที่มีความมิดชิด (air-tightness) อยู่ในระดับที่ไม่ต่างจากนิปเปอร์ชลอกการรั่วไหลของสารรวมให้ได้มากที่สุด การทดสอบความดัน (pressurization test) เป็นวิธีมาตรฐานที่ใช้ในการทดสอบความมิดชิดของโครงสร้างการรวม (Bond, 1984) โดยในการทดสอบความดันภายในโครงสร้างการรวมจะถูกทำให้สูงขึ้นกว่าสภาพบรรยายกาศที่ระดับความดันค่าหนึ่งด้วยการอัดอากาศ หรือทำให้ต่ำลงด้วยการดูดอากาศออก จากนั้นความดันภายในโครงสร้างการรวมจะถูกปล่อยให้ลดลงตามธรรมชาติพร้อมกับทำการจับเวลา ระดับ air-tightness จะถูกกำหนดโดยระยะเวลาที่ระดับความดันลดลงจากค่าเริ่มต้นค่าหนึ่งถึงค่าหนึ่งของค่าเริ่มต้นนั้น ระยะเวลาที่มีชื่อเรียกเช่นพาวเวอร์ pressure half-life (PHL) งานวิจัยนี้มีวัตถุประสงค์เพื่อศึกษาผลกระทบของปัจจัยต่างๆ ในการทดสอบความดันที่มีต่อ PHL เพื่อผู้ปฏิบัติงานสามารถคาดคะเนความมิดชิดของโครงสร้างการรวมได้อย่างแม่นยำมากที่สุด

## อุปกรณ์และวิธีการ

หากกำหนดให้ระดับความดันเริ่มต้นของการทดสอบความดันเป็น  $p_1$  (Pa) และระดับความดันที่ลดลงตามธรรมชาติที่เวลา  $t$  (min) ได้เป็น  $p_2$  (Pa) Graver and Banks (2008) ได้แสดงความสัมพันธ์ระหว่าง  $p_1$  และ  $p_2$  ดังนี้

$$p_1^{1-n} - p_2^{1-n} = (1-n)b \frac{\rho RT}{28.96V} t \quad (1)$$

โดยที่  $\square b$  ( $m^3/s\cdot Pa^n$ ) และ  $n$  (dimensionless) คือ ค่าคงที่,  $\rho$  คือ ความหนาแน่นของอากาศซึ่งสมมุติว่าคงที่ ( $kg/m^3$ ),  $R$  คือ ค่าคงที่ของก้าซอคุมคติ ( $J/mol\cdot K$ ),  $T$  คือ อุณหภูมิภายในโครงสร้างการรวม (K), ค่าคงที่ 28.96 คือ มาลโมเลกุลของอากาศ ( $g/mol$ ), และ  $V$  คือ ปริมาตรของโครงสร้างการรวม ( $m^3$ ) สมการที่ 1 สามารถถูกจัดให้อยู่ในรูปต่อไปนี้

$$p_2 = (p_1^\alpha - \alpha \beta t)^{\frac{1}{\alpha}} \quad (2)$$

โดยที่

$$\alpha = (1-n) \text{ และ } \beta = b \frac{\rho RT}{28.96V}$$

จากสมการที่ 1 และ 2 จะเห็นได้ว่าที่ระดับความมิดชิดเดียวันการเลือกค่าความดันเริ่มต้น  $p_1$  ที่สูงขึ้นและการทดสอบความดันที่อุณหภูมิภายในโครงสร้างสูงขึ้นจะทำให้ได้ค่า PHL (ค่า  $t$  เมื่อ  $p_2 = 0.5p_1$ ) ที่มากขึ้น แต่ค่า PHL จะแปรผันกับปริมาตรของโครงสร้าง คณะผู้วิจัยได้ทำการทดลอง 3 การทดลองเพื่อพิสูจน์ผลการวิเคราะห์นี้ ในการทดลองที่ 1 คณะผู้วิจัยทำการทดสอบความดันในไชโอลั่กันกรวย (hopper bottom silo) ขนาด  $8.9 m^3$  เพื่อพิสูจน์ความสัมพันธ์ระหว่างค่าความดันเริ่มต้นกับ PHL ซึ่งใช้โน้มถ่วงติดตั้งบนลาร์ว (ball valve) ให้สามารถปรับระดับความมิดชิดได้ โดยได้ทำการทดสอบความดันที่ระดับความมิดชิด 2 ระดับ คือ เปิดวาร์วครึ่งหนึ่ง (partially-open) และเปิดวาร์วจนสุด (fully-open) เลือกความดันเริ่มต้นที่ 2000 Pa และทำการทดสอบแบบ 3 ชั้้า ในการทดลองที่ 2 ทำการทดสอบความดันในไชโอลั่มเพื่อแสดงให้เห็นถึงผลของอุณหภูมิ โดยเปิดวาร์วจนสุดแต่ทำการทดสอบในขณะที่ไชโอลั่กและไม่ลูกและไม่ลูกแสดงแผลส่องกระแทบโดยตรง เลือกความดันเริ่มต้นที่ 1000 Pa และทำการทดสอบแบบ 6 ชั้้า ในการทดลองที่ 3 ทำการทดสอบความดันในถังพลาสติกขนาด 60 l เพื่อเบรี่ยบเทียบ PHL ระหว่างถังพลาสติกเปล่า 1 ใบกับถังเปล่า 2 หรือ 3 ใบที่มีปริมาตรเชื่อมต่อกัน โดยช่องเปิดที่อากาศสามารถรั่วไหลออกจากถังในทุกการทดลองมีเพียง 1 ช่องและมีขนาดไม่เปลี่ยนแปลง เลือกความดันเริ่มต้นที่ 2000 Pa และทำการทดสอบแบบ 3 ชั้้า ในทุกการทดลองทำการบันทึกความดันทุกๆ 1 s ด้วยเครื่อง Climomaster Model 6531 (Kanomax Japan Inc., Osaka, Japan) ค่าความดันที่บันทึกได้ของการทดสอบแต่ครั้งจะถูกทำการทดสอบ (curve fitting) ด้วยสมการที่ 2 เพื่อคำนวนค่า PHL

## ผล

เส้นการลดของความดัน (pressure decay curve) ใน การทดลองที่ 1 2 และ 3 แสดงอยู่ใน Figure 1a, 1b และ 1c ตามลำดับ เมื่อทำการถอดถอน (curve fitting) เส้นการลดของความดันแต่ละเส้นด้วยสมการที่ 2 ค่า coefficient of determination ( $R^2$ ) ที่ได้จากทุกการทดลองมีค่าสูงกว่า 0.995 ค่าเฉลี่ยและค่าเบี่ยงเบนมาตรฐานของค่า PHL ของเส้นการลดของความดันในแต่ละการทดลองแสดงอยู่ใน Table 1 ใน การทดลองที่ 1 ค่าเฉลี่ยของ □ PHL ( $p_1 = 2000 \text{ Pa}$  และ  $p_2 = 1000 \text{ Pa}$ ) เมื่อเปิดวาล์วครึ่งหนึ่งและเมื่อเปิดวาล์วเต็มที่มีค่าเท่ากับ 2.993 และ 0.833 min ตามลำดับ ใน การทดลองที่ 2 ค่าเฉลี่ยของ PHL ( $p_1 = 1000 \text{ Pa}$  และ  $p_2 = 500 \text{ Pa}$ ) ที่ได้จากการทดสอบความดันเมื่อไม่มีแสงแดดส่องกระทบไชโอลโดยตรงมีค่าเท่ากับ 0.685 min แต่เมื่อมีแสงแดดส่องกระทบไชโอลค่าเฉลี่ยของ PHL เพิ่มสูงขึ้นเป็น 1.272 min ใน การทดลองที่ 3 ค่าเฉลี่ยของ PHL ( $p_1 = 2000 \text{ Pa}$  และ  $p_2 = 1000 \text{ Pa}$ ) เพิ่มขึ้นจาก 0.378 min เป็น 0.789 min เป็น 1.209 min เมื่อบรินาตอร์ (จำนวนถังพลาสติก) เพิ่มขึ้นจาก 60 l เป็น 120 l เป็น 180 l ตามลำดับ

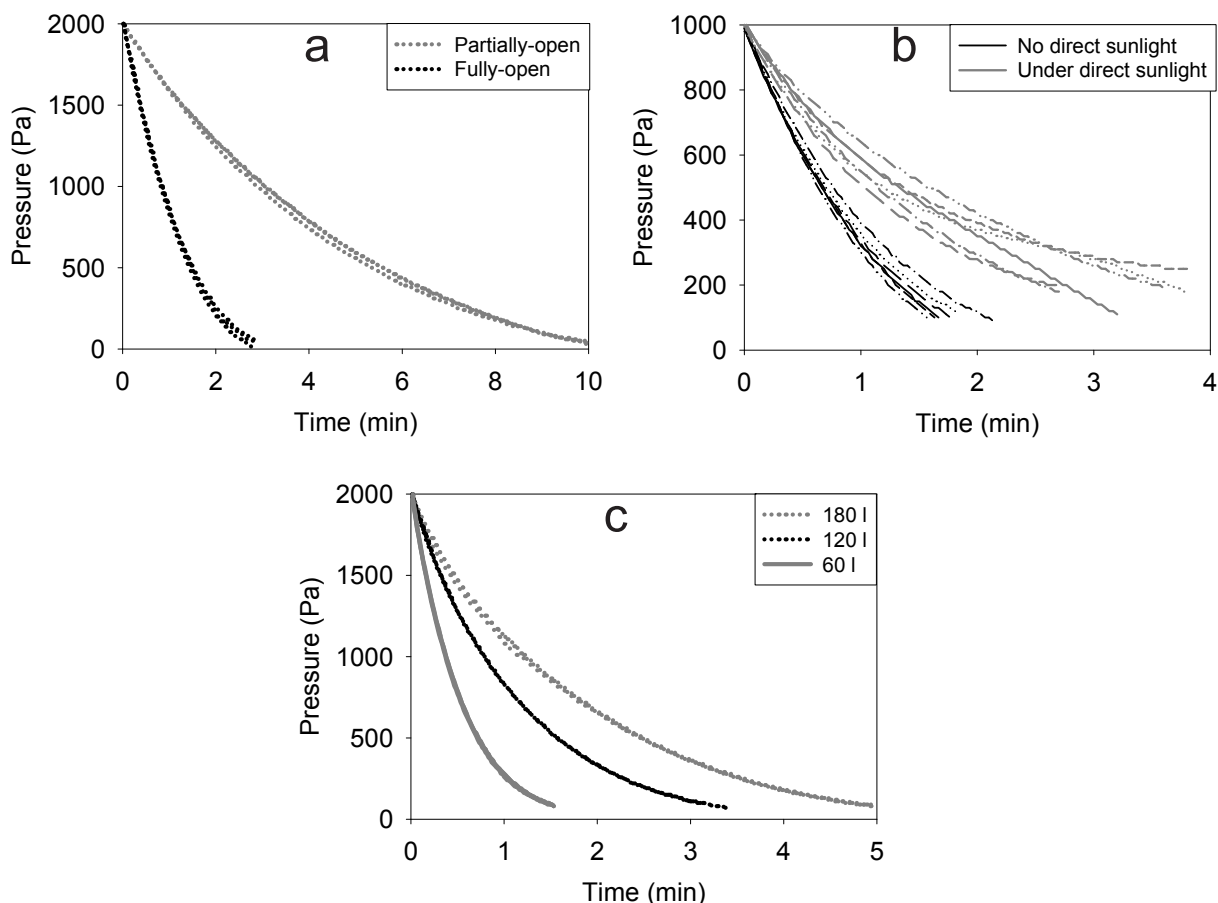


Figure 1 Measured pressure decay curves of (a) Experiment 1, (b) Experiment 2 and (c) Experiment 3.

Table 1 Summary of the means and standard deviations in a unit of minutes of the PHLs in all experiments.

	Experiment 1		Experiment 2		Experiment 3		
	Partially-open	Fully-open	No direct sunlight	Under direct sunlight	60 l	120 l	180 l
Mean	2.993	0.833	0.685	1.272	0.378	0.789	1.209
S.D.	0.098	0.015	0.047	0.193	0.009	0.010	0.025

## วิจารณ์ผล

ค่า coefficient of determination ที่สูงแสดงให้เห็นว่าสมการที่ 2 สามารถอธิบายอัตราการลดลงของความดันได้เป็นอย่างดี ดังนั้นสมการนี้สามารถถูกนำไปใช้เพื่อวิเคราะห์คุณลักษณะของการทดสอบความดันหรือคาดการณ์ผลที่จะได้จากการทดสอบได้ก่อนการทดสอบจริง เมื่อพิจารณาสมการที่ 2 อย่างละเอียดจะเห็นได้ว่าค่า PHL จะมีค่าลดลงหากผู้ปฏิบัติงานเลือกทำการทดสอบความดันที่ระดับความดันเริ่มต้นที่ต่ำลง ยกตัวอย่างเช่น ค่าเฉลี่ยของ PHL ( $p_1 = 2000 \text{ Pa}$  และ  $p_2 = 1000 \text{ Pa}$ ) ของเส้นการลดของความดันเมื่อทำการเปิดวาล์วครึ่งหนึ่งใน Figure 1a มีค่าเป็น  $2.993 \text{ min}$  เมื่อเลือกค่าความดันเริ่มต้นเป็น  $2000 \text{ Pa}$  แต่เมื่อเลือกค่าความดันเริ่มต้นเป็น  $500 \text{ Pa}$  ค่าเฉลี่ยของ PHL ( $p_1 = 500 \text{ Pa}$  และ  $p_2 = 250 \text{ Pa}$ ) ของเส้นการลดของความดันกลุ่มนี้มีค่าเป็น  $1.878 \text{ min}$  จาก Figure 1b จะเห็นได้ว่าเมื่อมีแสงแเดดส่องกระทบไปโดยความเร็วในการลดของความดันภายในโถลอดเข้าหากว่าเมื่อไม่มีแสงแเดดส่องอย่างชัดเจน ซึ่งแสดงให้เห็นถึงผลของตัวแปรอุณหภูมิในสมการที่ 2 คือ ค่า PHL แปรผันตรงกับอุณหภูมิภายในโครงสร้างการรวม ในทำนองเดียวกันค่า PHL แปรผกผันกับปริมาตรของโครงสร้างการรวมผลของการทดสอบที่ 3 แสดงให้เห็นถึงความสัมพันธ์นี้ ค่าเฉลี่ยของ PHL เมื่อทดสอบกับถังพลาสติก 3 และ 2 ใบ เชื่อมตอกันมีค่าเป็นประมาณ 3 และ 2 เท่าของค่าเฉลี่ยของ PHL เมื่อทดสอบกับถังเพียง 1 ใบ

การทดสอบด้วยความดันมีความสำคัญต่อผลสำเร็จของการรวมยาดังจะเห็นได้จากข้อแนะนำจากแหล่งต่างๆ Bond (1984) ให้คำแนะนำว่าใช้โลชีน์มีความดัน  $300 \text{ ถึง } 10,000 \text{ ตัน} \text{/cm}^2$  ตันความมีค่า PHL จาก  $500 \text{ ถึง } 250 \text{ Pa}$  ไม่ต่ำกว่า  $5 \text{ min}$  จึงจะเหมาะสมต่อการใช้รวมยาด้วยฟอสฟิน มาตรฐานของประเทศไทย (Anonymous, 2010) ยังแนะนำให้ใช้ค่า PHL เดียวกันนี้สำหรับใช้ในการรวมยาด้วยคาร์บอนไดออกไซด์ Australia Quarantine and Inspection Service กำหนดให้ตู้ขนส่งสินค้า (shipping container) จะต้องมีค่า PHL ซึ่งวัดจาก  $200 \text{ ถึง } 100 \text{ Pa}$  มีค่าไม่ต่ำกว่า  $10 \text{ s}$  จึงจะเหมาะสมต่อการรวมยาด้วยเมทิลไบโรมีด (Anonymous, 2008) จะเห็นได้ว่าคำแนะนำเกี่ยวกับค่า PHL ที่เหมาะสมเหล่านี้ยังไม่มีความสอดคล้อง ตรงกัน นอกเหนือไปนี้ปัจจัยต่างๆ ในการทดสอบความดันยังมีผลกระทบต่อค่า PHL ดังนั้นความมีการศึกษาเพิ่มเติมเพื่อกำหนดค่า PHL ที่เหมาะสมสำหรับการใช้ในการทดสอบความดันเพื่อการรวมยาของประเทศไทย

## สรุป

งานวิจัยนี้แสดงให้เห็นว่าเมื่อทำการทดสอบความดันกับโครงสร้างการรวมใดๆ ค่า PHL ที่ได้จะได้รับผลกระทบจาก การเลือกใช้ระดับความดันเริ่มต้น อุณหภูมิภายนอก ความดันเริ่มต้น ความดันคงที่ ความต้านทานของโครงสร้าง ซึ่งทำให้ปัจจัยเหล่านี้จะมีอิทธิพลต่อ ความเที่ยงตรงในการคาดคะเนอัตราการรักษาให้เหลือของสารรวมจากผลกระทบทดสอบความดัน ดังนั้นในการทดสอบความดันผู้ทดสอบจำเป็นต้องควบคุมปัจจัยในการทดสอบทั้ง 3 ปัจจัยนี้ด้วย

## คำขอบคุณ

ขอขอบคุณ สถาบันวิจัยและพัฒนาแห่งมหาวิทยาลัยเกษตรศาสตร์ ภาควิชาชีวกรรมเกษตรฯ คณะวิชาชีวกรรมศาสตร์ กำแพงแสน มหาวิทยาลัยเกษตรศาสตร์ วิทยาเขตกำแพงแสน ที่สนับสนุนงบประมาณในการทำงานและนำเสนอผลงานวิจัยนี้

## เอกสารอ้างอิง

- Anonymous. 2008. AQIS Methyl Bromide Standard - Treatments and Fumigants - Version 1.3. Australian Quarantine and Inspection Service.
- Anonymous. 2010. Sealed grain-storage silos - sealing requirements for insect control. Standards Australia, Sydney.
- Bond, E.J., 1984. Manual of fumigation for insect control, FAO Plant Production and Protection Papers - 54, Rome, Food and Agriculture Organization of the United Nations.
- Graver, J.V.S. and H.J. Banks. 2008. Freight containers - are they sufficiently gastight for quarantine & pre-shipment fumigation with methyl bromide in the 21<sup>st</sup> century? In: G. Daolin, S. Navarro, Y. Jian, T. Cheng, J. Zuxun, L. Yue, L. Yang and W. Haipeng. (eds.). Proceedings of the Eighth International Conference on Controlled Atmosphere and Fumigation in Stored Products, 21-26 September 2008, Chengdu, China, Sichuan Publishing Group, Sichuan Publishing House of Science & Technology, Chengdu, China. pp. 441-445.
- Pimentel, M.A.G., L.R.D.A. Faroni, R.N.C. Guedes, A.H. Sousa and M.R. Tótola. 2009. Phosphine resistance in Brazilian populations of *Sitophilus zeamais* Motschulsky (Coleoptera: Curculionidae). Journal of Stored Products Research 45: 71-74.
- Rajendran, S. and N. Gunasekaran. 2002. The response of phosphine-resistant lesser grain borer *Rhyzopertha dominica* and rice weevil *Sitophilus oryzae* in mixed-age cultures to varying concentrations of phosphine. Pest Management Science 58: 277-281.